

収縮・クリープを考慮したPC部材の限界状態設計

秋田大学 正員 川上 淳
 秋田大学 学生員 ○ 福田 伸
 秋田大学 学生員 矢野 勝弘

1. まえがき 本研究は、単純曲げを受ける任意形断面とともにPC部材に関し、収縮・クリープを考慮して終局およびひび割れ強度を解析的に明らかにし、得られた結果に基づいて電算プログラムを開発したものである。

2. 解析

2. 1 収縮・クリープの考慮 乾燥収縮、クリープの考慮は土木学会PC規格の次式を採用する。

$$\tilde{\sigma}_{pp} = \frac{n_p(\tilde{\epsilon}_{pe} + \tilde{\epsilon}_{pcv}) + E_p \epsilon_{os}}{1 + \frac{n \tilde{\sigma}_{pcv}}{\tilde{\sigma}_{pe}} (1 + \frac{\rho}{2})}$$

ϵ_p ; クリープ係数, ϵ_{os} ; 乾燥収縮ひずみ, $\tilde{\sigma}_{pe}$; PC鋼初期引張応力度
 $\tilde{\sigma}_{pcv}$; 収縮・クリープによるPC鋼の引張応力度の減少量
 $\tilde{\epsilon}_{pe}$; 死荷重によるPC鋼位置におけるコンクリート応力度
 $\tilde{\epsilon}_{pcv}$; プレストレスによるPC鋼位置におけるコンクリート応力度

2. 2 終局強度

2.2.1 假定 (1) 平面保持の假定が成立立つ。 (2) コンクリートの引張抵抗は無視する。 (3) 破壊は圧縮縫コンクリートの最大ひずみが終局ひずみに達したときとする。 (4) 応力-ひずみ関係はコンクリートに対して2次放物線と矩形、PC鋼線PC鋼より線およびPC鋼棒1号に対してトライソニア、そしてPC鋼棒2号に対してバイリニアと假定する。

2.2.2 解析理論 図-1の任意形断面のPC部材が、単純曲げを受けるとき、任意点におけるコンクリートの圧縮応力、PC鋼の引張応力は、次の式(1)～(3)の通りである。

$$\tilde{\sigma}_{cy} = \begin{cases} \frac{\tilde{\sigma}_{pe}^*}{r + d_f^2} \{ 2rd_f(y - r) - (y - r)^2 \} & (0 \leq \frac{y}{d_f} \leq r) \\ \tilde{\epsilon}_c^* & (r < \frac{y}{d_f} < 1) \end{cases} \quad (1)$$

$$\tilde{\sigma}_p = \begin{cases} E_p \epsilon_p^* & (0 \leq \epsilon_p^* \leq \epsilon_{p1}^*) \\ C_1 \tilde{\sigma}_{pe} (\epsilon_p^* - \epsilon_{p1}^*) + 0.84 \tilde{\sigma}_{pe} & (\epsilon_{p1}^* < \epsilon_p^* \leq 0.015) \\ 0.93 \tilde{\sigma}_{pe} & (\epsilon_p^* > 0.015) \end{cases} \quad (2)$$

$$\tilde{\sigma}_p = \begin{cases} E_p \epsilon_p^* & (0 \leq \epsilon_p^* \leq \epsilon_{p2}^*) \\ 0.80 \tilde{\sigma}_{pe} & (\epsilon_{p2}^* > \epsilon_p^*) \end{cases} \quad (3)$$

但し $C_1 = (0.93 - 0.84)/(0.015 - \epsilon_{p1}^*)$
 $\epsilon_{p1}^* = 0.84 \tilde{\sigma}_{pe} / E_p$
 $\epsilon_{p2}^* = 0.80 \tilde{\sigma}_{pe} / E_p$

一方PC鋼のひずみは、 $\epsilon_p^* = \epsilon_{pe} + \epsilon_{pcv} + \bar{\epsilon}_p^*$ のように表わされる。ここで

$\epsilon_{pe} = (\tilde{\sigma}_{pe} - \tilde{\sigma}_{pcv}) / E_p = P(1 - \tilde{\sigma}_{pcv} / \tilde{\sigma}_{pe}) / A_p E_p$ $\epsilon_{pcv} \approx 0$ $\bar{\epsilon}_p^* = \epsilon_c^* \epsilon_p / d_f$ である。但し P; 初期引張力

力のつりあい式は次式に示す通りである。

$$C_c = T_p \quad (4)$$

$$\int_{A_c} \tilde{\sigma}_{cy} dA_c = \tilde{\sigma}_p A_p \quad (5)$$

(4)式と(5)に関する式 $f(b)$ とすると

$$f(b) = C_c - T_p$$

これを一回微分して

$$f'(b) = C'_c - T'_p$$

ニュートン・ラフソン法により

$$b_{n+1} = b_n - f(b_n) / f'(b_n) \quad (6)$$

式(6)において $b = b_{n+1} = b_n$ により中立軸

を決定する。終局時の曲げモーメントは $M_u = \int_{A_c} \tilde{\sigma}_{cy} y dA_c + \tilde{\sigma}_p y_p A_p$ (7) より得られる。

式(5), (7)における積分に関してはガウスの積分定理を用いる。¹⁾

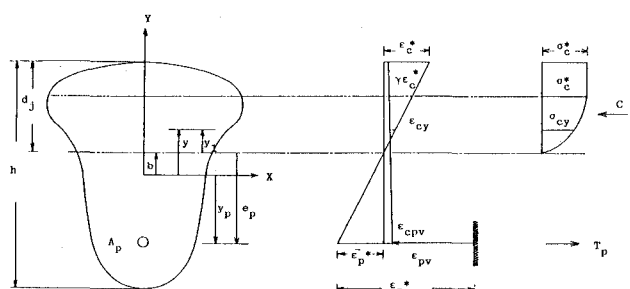


図-1

2.3 ひび割れ強度

2.3.1 仮定 (1) 平面保持の仮定が成り立つ。 (2) 応力-ひずみ関係はコンクリートに対し圧縮部を線形、引張部を放物線と矩形とし、PC鋼は、終局強度の仮定と同様である。 (3) ひび割れの条件は引張ひずみ比が既に達したときとする。ここで、 $\epsilon_{cr}^t = (18.5 + 0.02\alpha^*) \times 10^{-5}$ を採用した。²⁾

2.3.2 解析理論

図-2に示す任意形断面のPC部材に単純曲げが作用するとき、任意の点におけるコンクリートの圧縮および引張応力とPC鋼の引張応力は、式(8)～(11)で与えられる。

$$\hat{f}_{xy}' = \frac{E_x E_{yy}^*}{e_j} (y' - b) \quad (8)$$

$$\theta_{xy} = \begin{cases} -\frac{\theta_{xy}^*}{k^2 e_g^2} \left\{ 2 k^2 e_g (y - \delta) - (y - \delta)^2 \right\} & (0 \leq \frac{e_g}{k^2 e_g} \leq k_0) \\ \theta_{xy}^* & (k_0 < \frac{e_g}{k^2 e_g} \leq 1) \end{cases} \quad (9)$$

$$\tilde{G}_p = \begin{cases} E_p - \epsilon_p^* & (0 \leq \epsilon_p^* \leq \epsilon_{p1}^*) \\ C_1 \tilde{\sigma}_{pn} (\epsilon_p^* - \epsilon_{p1}^*) + 0.84 \tilde{\sigma}_{pn} & (\epsilon_{p1}^* < \epsilon_p^* \leq 0.018) \\ 0.93 \tilde{\sigma}_{pn} & (\epsilon_p^* > 0.015) \end{cases}$$

図-2

μ 及び ν のひずみは次式で表される。 $\epsilon_p^k = \epsilon_{\mu\nu} + \epsilon_{\nu\mu} + \bar{\epsilon}_p^k$ $\epsilon_{\mu\nu} = (\theta_{\mu} - \theta_{\nu}) / E_p$ $\epsilon_{\nu\mu} = 0$ $\bar{\epsilon}_p^k = \epsilon_p^k e_p / c_f$

力のつりあい式は次式に示すとおりである。 $C_0 = T_0 + T_p$ (12) $\int_{A_0} \bar{G}_{xy} dA_0 = \int_{A_0} \bar{G}_{xy} dA_0 + \bar{\delta}_p A_p$ (13)

(ii) 式と α に関する式 $f(B)$ とすると $f(B) = C_0 - T_0 - T_P$ これを B に対して一回微分して

$f(t) = C_0' - T_C' - Tr'$ ニュートン・ラプソン法
を決定する。ひび割れ発生時の曲げモーメント

$$\begin{aligned}
& \gamma = 0.6 \quad \gamma_t = 0.65 & \psi = 2.0 & \epsilon_{cs} = 0.0002 \\
& \sigma_c = 400 \text{kgf/cm}^2 \quad \sigma_{ct} = 34.4 \text{kgf/cm}^2 & M_{cd} = 7.38 \text{tf-m} & P = 15 \times 4 = 60 \text{tf} \\
& \sigma_{pu} = 13500 \text{kgf/cm}^2 & & \\
& \epsilon_c = 0.0035 \quad \epsilon_{ct} = 0.000265 & & \\
& E_c = 3.5 \times 10^5 \text{kgf/cm}^2 \quad E_p = 2.0 \times 10^6 \text{kgf/cm}^2 & & \\
& A_n = 5.309 \times 4 = 21.236 \text{cm}^2 & &
\end{aligned}$$

表-1 収縮・クリープを考慮したひび割れおよび終局強度

△	プレストレスの減少量		ひび割れ強度		終局強度	
	tf (%)		dj(cm)	M _{cr} (tf-m)	dj(cm)	M _u (tf-m)
収縮・クリープを考慮しない	0.0	(0.0)	23.783	19.573	12.763	63.358
荷瘤のみ考慮	4.604	(7.67)	23.300	18.468	12.763	63.358
クリープのみ考慮	14.502	(24.17)	22.152	16.085	12.763	63.358
収縮・クリープを考慮	19.108	(31.85)	21.560	14.975	12.763	63.358

参考文献

- 1)川上他 "Limit States of Cracking and Ultimate Strength of Arbitrary Concrete Sections Under Biaxial Loading"
J.ACI. Vol 82 No 2 1985. p203~p212

2)横道、藤田 鉄筋コンクリート工学(訂正2版) 芝立出版 1980 p235